

В. Митев, И. Григоров, В. Симеонов, П. Томов, П. Георгиев

ЛИДАР НА КОМБИНАЦИОННОМ РАССЕЯНИИ СВЕТА И ИЗМЕРЕНИЕ НЕКОТОРЫХ АТМОСФЕРНЫХ ПАРАМЕТРОВ

Описан СКР-лидар, работающий в режиме счета фотонов и предназначенный для комплексного измерения метеопараметров нижнего слоя атмосферы. Представлены некоторые результаты измерения профиля температуры и коэффициента экстинции атмосферы по аэрозольному рассеянию.

Изучение нижнего однокилометрового слоя атмосферы актуально в задачах мониторинга окружающей среды. Профили температуры, влажности, обратного аэрозольного рассеяния и др. дают достаточно полную характеристику этого слоя и динамику его видоизменения во времени.

В наших измерениях использован оптико-механический тракт лидара, описанный в [1]. В процессе выполнения исследований он был усовершенствован с целью повышения ряда эксплуатационных параметров.

Электронная система лидара была существенно переработана. Разработана и запущена специализированная система регистрации и обработки лидарных сигналов. В ее состав входят: блок ФЭУ; накопительное устройство; микро-ЭВМ «Правец-82» с двумя дисководами; плоттер и принтер. Накопительное устройство осуществляет накопление поступающих из блока ФЭУ сигналов. Блок ФЭУ включает в себя семь спектральных каналов, каждый из которых имеет 240 стробов по времени (длительность строба 100 нс, временная неопределенность не более 10 нс). Накопительное устройство управляетяется микро-ЭВМ при помощи интерфейсного модуля, работающего в диалоговом режиме. Интерфейсный модуль дает в микро-ЭВМ команды о готовности системы к работе, об ошибках, возникающих в системе, об остановке процесса накопления и т. д. При помощи его также ведется управление блоком питания ФЭУ, оптическим затвором и плоттером. Связь интерфейсного модуля с микро-ЭВМ осуществляется при помощи параллельного интерфейса. Запускается накопительное устройство фототранзистором (с предусилиелем).

Управление системой ведется пакетом программ, написанных на языке BASIC и ASSEMBLER. Программы работают в диалоговом режиме. Все это оформлено как файл на диске, что позволяет создать базу данных и результатов. Вывод информации во время измерений — в цифровом или графическом виде.

С помощью данного СКР-лидара проведены предварительные исследования естественных аэрозольных образований (облаков и подоблачной дымки), продемонстрировавшие хорошую работоспособность новой электронной системы. Обработка полученных эхо-сигналов от аэрозольной атмосферы, проведенная по методике Клетта [3, 4], дала возможность построить профили коэффициента экстинции $\alpha(r)$. Один из этих профилей, полученный 02.09.1986 г., показан на рис. 1. Вычисляя значения коэффициента экстинкции, нами учтены вариации отношения $\alpha(r)/\beta(r)$ (где $\beta(r)$ — коэффициент обратного аэрозольного рассеяния) в зависимости от изменения атмосферной влажности по высоте. При этом экспериментальные данные заимствованы из [5]. На этом рисунке также приведены профили температуры и точки росы, построенные по данным шаров-радиозондов, запускавшихся во время лазерного зондирования. Эти профили позволяют оценить метеорологическую обстановку для трасс лидарных измерений. Сближение этих профилей на высоте 1600 м свидетельствует о существовании подходящих условий для образования плотных аэрозольных слоев, которыми и обусловлен рост значения $\alpha(r)$ на этой высоте. На высоте порядка 600 м наблюдается небольшое локальное увеличение значения коэффициента экстинкции, которое может быть объяснено наличием задерживающего слоя атмосферы, мешающего движению аэрозолей в верхние слои. Точкой на оси абсцисс обозначено значение $\alpha(r)$ у поверхности земли, полученное измерителем метеорологической дальности видимости. Отличие этого значения $\alpha(r)$ от значения, полученного из лидарных данных, лежит в пределах ошибок измерений.

Хорошее соответствие между вычисленным профилем коэффициента экстинкции и данными о метеорологической обстановке дает нам основание говорить о том, что этот профиль правильно отражает стратификацию атмосферного аэрозоля.

Во время предварительных измерений регистрировались сигналы СКР азота и кислорода. Время накопления сигнала в экспериментах составляло 25 мин. Максимальное расстояние, с которого получены сигналы СКР, равнялось 650—700 м. При помощи методики, описанной в [1, 2], были построены профили атмосферной температуры, один из которых показан на рис. 2. Точки на рисунке обозначены полученные лидарным зондированием значения температуры, а непрерывной линией — профиль температуры по данным радиозондирования. Надо иметь в виду, что радиозондовые дан-

ные о температуре приземных атмосферных слоев получены интерполяцией между значениями температуры у поверхности Земли и на высоте 590 м, так как эта зона является мертвым зоной следящей аппаратуры. Эти измерения проведены в ночное время 12.03.1987 г. Ошибка лазарных измерений в предположении пуассоновского распределения фотоотсчетов была 3К для верхней части (т. е. для высот 650–700 м) и 1К – для нижней части зондируемого участка. Для высот выше 700 м возрастает дисперсия вычисленных значений температуры из-за убывания сигнала комбинационного рассеяния до уровня шумовых флюктуаций и фона. Для некоторых высот ниже 650 м также наблюдается различие между значениями температуры, определенными при помощи лидара и радиозондированием. Это различие можно объяснить как инерционностью датчика радиозонда, так и несовпадением по времени лазерного зондирования и радиозондирования.

С вводом в действие специализированной системы для регистрации и обработки лазарных сигналов полностью решена проблема автоматизации измерений, что является существенным шагом на пути создания многофункционального лидара. Первоначальные измерения профилей температуры и коэффициента экстинкции являются первым доказательством функциональных возможностей такого лидара.

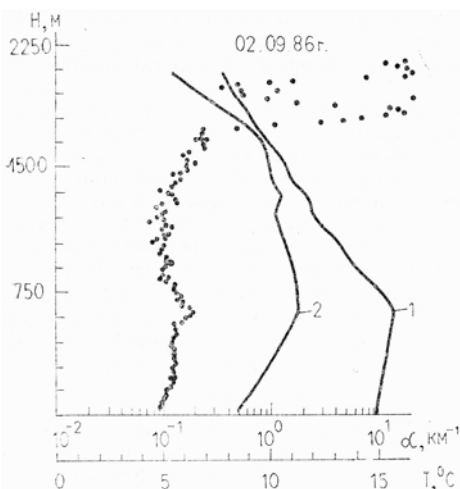


Рис. 1. Профили коэффициента экстинкции (точки), температуры (1) и точки росы (2). Первый профиль построен по данным лазарного зондирования, два других – по данным радиозондирования

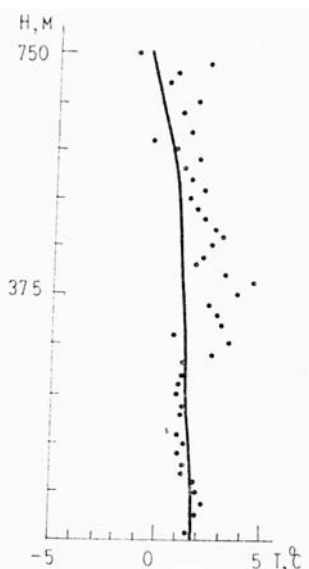


Рис. 2. Профили температуры атмосферы: полученные лазерным зондированием (точки); построенные по данным радиозондирования (сплошная линия)

В будущем планируется доукомплектовать лазарный комплекс дополнительными приемными каналами для более точного определения профиля атмосферной температуры и профиля влажности на основе использования колебательной линии СКР водяного пара.

В настоящее время еще не полностью решена проблема точной калибровки лидара для измерения атмосферных параметров, для чего потребуется создание отдельного набора контактных измерительных приборов.

1. Митев В.М., Симеонов В.Б., Иванов Л.М. и др. В сб.: Доклади от българо-съветски семинар «Лазерни методи и средства за измерване и контрол на параметрите на околната среда», София, 1985, с. 130–132.
2. Arshinov Yu., Vologvnikov S., Zuev V., Mitev V. – Appl. Opt., 1983, v. 22, p. 2984.
3. Klett J. – Appl. Opt., 1980, v. 20, p. 211.
4. Klett J. – Appl. Opt., 1985, v. 24, No 11.
5. Salemink H., Schotanus P., Bergwerf J. – Appl. Phus, 1984, v. 34, p. 187.

Институт электроники
Болгарской Академии наук,
г. София, НРБ

Институт ядерных исследований и ядерной энергетики
Болгарской Академии наук, г. София, НРБ

Поступила в редакцию
30 декабря 1987 г.

I. Mitev, I. Grigorov, V. Simeonov, R. Tomov, P. Georgiev. **Raman Lidar and Sounding of Certain Atmospheric Parameters.**

Raman lidar operating in the photon-counting mode designed for sounding meteorological parameters of the lowest atmospheric layer is reported. Sampled lidar data on the atmospheric temperature and extinction coefficient are discussed.